

## The Effects of Winkler-Pasternak Foundation Coefficients on the Natural Frequency of Cylindrical Lattice Structures Using Galerkin Method

Research Article

Amir Hossein Hahemian<sup>1</sup>, Ehsaneh Mohammadpour Hamedani<sup>2</sup>

DOI: [10.22067/jacsm.2022.73646.1069](https://doi.org/10.22067/jacsm.2022.73646.1069)

### 1. Introduction

Modern composite materials, which are widely used in the structure of spacecraft and rockets due to their high strength, are now widely considered in the commercial airframe bodies. About 40 years ago, the first generation of composite structures was made from the combination of aluminum and carbon-epoxy structures. In this article, the governing equation for free vibrations of a lattice cylindrical composite shell is presented as a formula. The lattice shell consists of a large number of helical and circumferential ribs and is modeled as a continuous orthotropic thin cylinder with variable stiffness. The cylinder is considered with different boundary conditions and the solution of the dynamic equations of the shell is based on Fourier and Galerkin Decomposition Methods. By using these methods, analytical formula presented for calculating the fundamental frequency of the lattice structure is made starting from a specific density of the lattice structure and does not depend on the number of helical ribs. This result is verified by Finite Element Analysis (FEM). The applications of this formula are for determining the parameters of lattice structures and designing composite lattice shells based on fundamental frequencies. In this study, the governing equations for free vibrations of a lattice composite structure are analytically obtained by the Galerkin method and also the results of the analytical method are compared with the results of the FEM.

### 2. Governing equations

In this study, the governing equations of the lattice structure shell are derived and then the equation of Winkler-Pasternak foundation are added, which forms a new governing equation. The new governing equation is solved. The composite lattice cylindrical structure is considered as it is surrounded by a linear, homogeneous and elastic foundation in the axial direction from the outer radius. The Winkler-Pasternak foundation can be assumed as radial and shear layer springs with two stiffness coefficients  $K$  and  $G$  in the longitudinal axes.

Since it is assumed that the springs have pure displacement, they are completely independent and have no combined and coupling effects on each other.

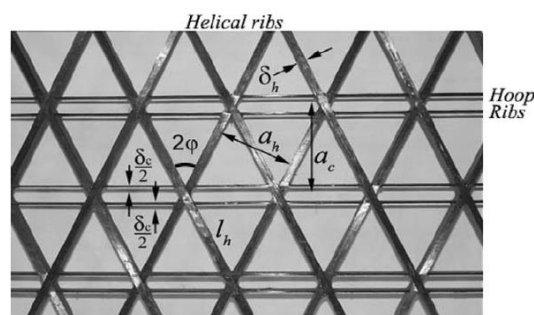


Figure 1. Parameters of the lattice structure

The equation of motion is derived using the classical theory of orthotropic cylindrical shells. Figure 1 shows the geometrical parameters of the lattice structure. The Winkler-Pasternak foundation term can be added to the third term of Equation 1;

$$\begin{aligned} \frac{\partial N_\alpha}{\partial \alpha} + \frac{\partial N_{\alpha\beta}}{\partial \beta} - B_\rho \frac{\partial^2 u}{\partial t^2} &= 0 \\ \frac{\partial N_{\alpha\beta}}{\partial \alpha} + \frac{\partial N_\beta}{\partial \beta} + \frac{1}{R} \frac{M_{\alpha\beta}}{\partial \beta} + \frac{1}{R} \frac{M_\beta}{\partial \beta} - B_\rho \frac{\partial^2 v}{\partial t^2} &= 0 \\ \frac{\partial^2 M_\alpha}{\partial \alpha^2} + \frac{\partial^2 M_{\alpha\beta}}{\partial \alpha \partial \beta} + \frac{\partial^2 M_\beta}{\partial \beta^2} - \frac{N_\beta}{R} - B_\rho \frac{\partial^2 w}{\partial t^2} &= Kw - G\nabla^2 w \end{aligned} \quad (1)$$

By solving the obtained equation with the assumed boundary conditions, the natural frequency is obtained for the lattice cylindrical shell rest on the Winkler-Pasternak elastic foundation. Now, trigonometric series can be used to find the response of the change of location along the circumference of the cylinder, which is repeated alternatively. The obtained formula is a direct relationship to obtain the natural frequency of a cylindrical lattice shell considering the Winkler-Pasternak elastic foundation,

\*Manuscript received: ; Revised, , Accepted, .

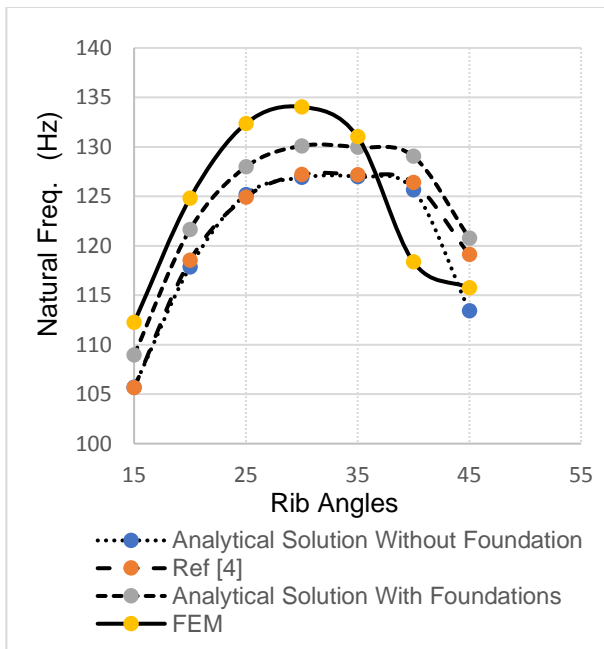
<sup>1</sup>. Corresponding author: Assistant Professor, Department of Aerospace Engineering, Islamic Azad University, Science and Research Branch, Tehran, Iran. **Email:** [amir\\_hashemian@srbiau.ac.ir](mailto:amir_hashemian@srbiau.ac.ir)

<sup>2</sup>. MSc, Department of Aerospace Engineering, Islamic Azad University, Science and Research Branch, Tehran, Iran

which can be used in the design of lattice structures to reduce calculation time.

**3. Numerical results and verifications**

In order to obtain a unit model, it is considered that for the foundation a series of springs can be considered as spring elements along the radius of the cylindrical shell in the outer part as Winkler and Pasternak parameters. The results showed that by adding an elastic foundation, the Winkler and Pasternak modulus coefficients have a great effect on increasing the natural frequencies of the lattice structure. By deriving the governing equations with boundary conditions, using the Galerkin method, it is obtained with and without an elastic foundation, and it is in good agreement with the results of the FEM. Figure 2 shows that the results obtained from the analytical solutions are in good agreement with the results of reference 4 for the lattice structure without elastic foundation. It also shows that the results of the analytical solutions considering the elastic foundation are in good agreement with the results of the FEM.

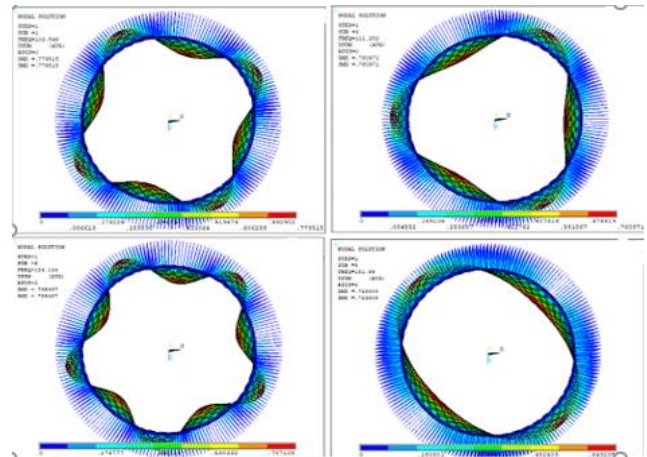


**Figure 2. Comparison of Natural Frequencies of a Lattice Structure with/without Winkler-Pasternak Foundation with  $n_s=48$  Ribs**

Four mode shapes are shown in Figure 3 for values of  $k = 100$  and  $G = 0 \text{ N/m}^3$ . The changes of the Winkler coefficient of the elastic foundation,  $K$ , from 0 to  $2 \times 10^6$  and its effect on the fundamental frequency are shown.

**4. Conclusion**

The problem of free vibrations of the composite lattice cylindrical shell surrounded by the Winkler-Pasternak foundation is raised with different boundary conditions. Assuming the characteristics of effective orthotropic stiffness, the continuous model was replaced with a lattice structure, and the analytical formula was obtained using the Fourier and Galerkin method.



**Figure 3. First, third, fifth and seven mode shapes**

The continuous formula for the natural frequencies of the lattice shell enclosed in an elastic medium was solved and the results were checked and verified using the FEM. For FEM simulations, Winkler and Pasternak characteristic coefficients were replaced by shear and radial springs, respectively. The natural frequency of the base of the system depends on the characteristics of the elastic foundation, so changing the stiffness of the radial and shear springs causes change in the natural frequencies. It was observed that by increasing the stiffness of the springs, more stability in the system can be expected. The effectiveness of the analytical formula was checked and verified using numerical calculations. The obtained parametric formula can prove its efficiency and suitability for obtaining the free vibrations of the cylindrical lattice structure which are equalized by the Winkler-Pasternak foundation with radial and shear springs for analysis and also possible design. The designer can calculate the effects of changing materials, density, structure length, structure diameter, fiber texture angle, and the number of ribs in the substrate required for different missions and frequency control without spending significant time and money. By increasing the stiffness of shear and radial springs, it is possible to obtain the desired stability for sensitive aerospace structures. Increasing the length in the structure causes the natural frequency to decrease. Therefore, by designing a suitable foundation, sufficient stability is obtained for it.



تأثیر ضرایب بستر وینکلر-پاسترناک بر فرکانس طبیعی سازه مشبک به روش گالرکین\*

مقاله پژوهشی

امیرحسین هاشمیان<sup>(۱)</sup> و احسانه محمدپور همدانی<sup>(۲)</sup>

DOI: 10.22067/jacsm.2022.73646.1069

**چکیده** سازه‌های مشبک کامپوزیتی از پرکاربرترین سازه‌ها در صنایع هوایی در سالهای اخیر می‌باشند. این سازه‌ها از تعداد زیادی دنده مایل و محیطی با فواصل مشخص از یکدیگر تشکیل شده و علاوه بر استحکام، از نظر وزنی بسیار سبک می‌باشند. مطالعه حاضر شامل یک بیان تحلیلی و راه حل برای مسئله ارتعاشات آزاد یک پوسته استوانه‌ای مشبک کامپوزیت می‌باشد. فرمول پیوسته‌ای برای محاسبه فرکانس طبیعی سازه مشبک استوانه‌ای با در نظر گرفتن بستر الاستیک وینکلر-پاسترناک از معادلات حاکم بر پوسته بر اساس روش فوریه و گالرکین حاصل گردید. نتایج بدست آمده در دو حالت بدون بستر و با بستر الاستیک بصورت تحلیلی محاسبه گردیده و صحت نتایج توسط مدل‌سازی به روش اجزای محدود مورد تأیید قرار گرفته است. برای شبیه سازی‌های روش اجزای محدود، ضرایب ویژگی‌های وینکلر و پاسترناک به ترتیب با فنرهای برشی و شعاعی جایگزین شده‌اند. فرکانس طبیعی پایه سیستم به ویژگی‌های بستر الاستیک بستگی داشته، بنابراین تغییر سختی فنرهای شعاعی و برشی باعث ایجاد تغییر در فرکانس‌های طبیعی می‌شود. روشهای ارائه شده در این مطالعه، علاوه بر آنکه برای تخمین فرکانس در مرحله طراحی اولیه بکار می‌رود، همچنین ابزاری برای ارزیابی تحلیل ارتعاشات پوسته استوانه‌ای مشبک کامپوزیت در تجزیه و تحلیل مکانیکی می‌باشد.

**واژه‌های کلیدی** سازه مشبک کامپوزیتی، فرکانس طبیعی، روش فوریه، روش گالرکین، اجزای محدود

The Effect of Winkler-Pasternak Foundation Coefficients on the Natural Frequency of Cylindrical Lattice Structures Using Galerkin Method

Amir Hossein Hashemian

Ehsaneh Mohammadpour Hamedani

**Abstract** Composite Lattice structures are one of the most widely used structures in the aerospace industry in recent years. These structures are composed of a large number of oblique and circumferential ribs with specific distances from each other and in addition to strength, they are very light in terms of weight. The present study includes an analytical expression and a solution to the problem of free vibrations of a composite lattice cylindrical shell. The continuous formula for calculating the natural frequency of a cylindrical lattice structure was obtained by considering the Winkler-Pasternak elastic foundation from the governing equations of the shell based on Galerkin methods. This formula, in addition to being used to estimate the frequency in the initial design phase, is also a tool for evaluating the vibration analysis of composite lattice shells in mechanical analysis. The results have been calculated analytically in two cases with and without elastic foundation and the accuracy of the results has been confirmed by finite element modeling. For finite element method simulations, Winkler and Pasternak coefficients have been replaced by shear and radial springs, respectively. The natural base frequency of the system depends on the properties of the elastic substrate, so changing the stiffness of the radial and shear springs causes a change in the natural frequencies.

**Keywords** Lattice Composite Structure, Natural Frequency, Fourier Method, Galerkin method, FEM

\*تاریخ دریافت مقاله ۱۴۰۰/۸/۲۴ و تاریخ پذیرش آن ۱۴۰۱/۵/۱ می‌باشد.

(۱) نویسنده مسئول، استادیار، گروه مهندسی هوافضا، واحد علوم و تحقیقات، دانشگاه آزاد اسلامی، تهران، ایران

(۲) کارشناسی ارشد، گروه مهندسی هوافضا، واحد علوم و تحقیقات، دانشگاه آزاد اسلامی، تهران، ایران

## مقدمه

سختی ساختاری پوسته‌های مشبک کامپوزیتی در تجزیه و تحلیل طراحی استفاده گردد. به طور معمول، تجزیه و تحلیل مکانیکی پوسته‌های استوانه‌ای مشبک با استفاده از مدل‌های پیوسته و یا مدل‌های گسسته انجام می‌شود. در مدل پیوسته، سیلندر مشبک با پوسته ارتوتروپیک پیوسته، "شبه معادل" جایگزین می‌گردد، که دارای پارامترهای سختی موثر وابسته به پوسته مشبک اصلی می‌باشد. استفاده از این روش به دلیل سادگی نسبی آن به طور گسترده‌ای در تجزیه و تحلیل و طراحی پوسته‌های مشبک کامپوزیت استفاده می‌شود. مقالات متعددی از مدل‌های مختلف پیوسته‌ای از ساختارهای مشبک ان-ایزوگرید توسط واسیلیف و موروزوف در نشریات علمی منتشر شده‌اند [1]. همچنین تجزیه و تحلیل‌های مختلف پوسته‌های مشبک بر اساس مدل‌های پیوسته توسط توتارو و گوردال [2]، بوراگوان و ولمورگان [3]، پاسچرو و هایر [4]، توتارو [5]، ژنگ و همکارانش گزارش شده است [6]. همچنین در مقالاتی توسط Hou و گرامول [7]، ژانگ و همکاران [8]، فرولونی و همکاران [9]، فن و همکاران [10] و موروزوف و همکاران [11]، نتایج حاصل از تجزیه و تحلیل پوسته‌های استوانه‌ای مشبک کامپوزیت را به روش اجزای محدود منتشر شده است. یوشیماسا و همکارانش تحلیل انتشار موج ارتعاشی با استفاده از تئوری ساختار تناوبی دو بعدی و روش اجزای محدود را برای ارزیابی عددی خواص فیلتر موج با محاسبات کمتر معرفی کردند. نتایج به دست آمده و پاسخ‌های شبیه‌سازی اجزای محدود مقایسه گردید. ایشان خواص هندسی ساختار شبکه با خواص مختلف فیلتر موج را با رویکردی برای طراحی سازه مشبک مرکب با خواص فیلتر موج گسترده تر و مطلوب و ترکیب چندین نوع ساختار مشبک ارائه دادند [12]. میکائیلی و همکارانش به مطالعه و بررسی ارتعاشات آزاد ورق‌های مشبک هدفمند در محیط‌های حرارتی بکار گرفته شده، پرداختند. معادلات تعادل حاکم، بر اساس نظریه تغییر شکل برشی مرتبه اول که شامل مؤلفه‌های جابجایی و دورانی می‌باشد، به دست آمده و با فرض شرایط مرزی چهار طرف گیردار به روش انرژی حل شده است. با حل مسأله مقدار ویژه، رفتار ارتعاشی سازه در محیط حرارتی (با حضور تنش حرارتی) تعیین شده است. نتایج تحلیلی و عددی با نتایج آثار گذشته مورد مقایسه و صحت سنجی قرار گرفته است [13]. لی و همکارانش به بررسی رفتارهای ارتعاش آزاد ایزوگرید با تقویت کننده

مواد کامپوزیتی مدرن که از خاصیت استحکام بالای آن‌ها در ساخت فضاپیماها و راکت‌ها به صورت گسترده‌ای استفاده می‌شود، هم‌اکنون بطور وسیعی در ساخت بدنه هواپیماهای تجاری مورد توجه قرار گرفته است. در حدود ۴۰ سال قبل اولین نسل از سازه‌های کامپوزیتی از ترکیب سازه‌های آلومینیومی و کربن-اپوکسی ساخته شده است. اصلی‌ترین موضوع در جریان ساخت سازه‌های مشبک چگونگی اختصاص کیفیت مناسب و خواص مکانیکی مشابه برای تمام دنده‌ها است که اعضاء اصلی تحمل بارها هستند. یک سازه مشبک کامپوزیتی که به خوبی طراحی شده باشد دارای خاصیت خود تعادلی است. قسمت نیروهای فشاری و محوری دنده‌های مایل نیروی فشاری را به دنده‌های محیطی و نیروی تنش محیطی تبدیل می‌کند و یا در پوسته اثری شبیه به فشار داخلی القا شده است، لذا فشار داخلی که سبب حفظ شکل و تعادل فرم‌دهنده‌های مایل است، حساسیت پوسته را به صورت تغییر شکل نامطلوب کاهش داده و یا به عبارتی آستانه نیروی بحرانی قابل افزایش است. لذا نوآوری در مدل‌سازی یا فرمول‌های سریع تحلیلی در بررسی‌های اولیه در طراحی و ساخت این سازه‌های پیچیده مورد توجه محققان بسیاری قرار گرفته است. در این مقاله معادله حاکم بر ارتعاشات آزاد یک پوسته استوانه‌ای مشبک کامپوزیتی بصورت فرموله شده ارائه گردیده است. پوسته مشبک از تعداد زیادی دنده‌های مارپیچ و دنده‌های حلقه‌ای تشکیل گردیده و بصورت یک استوانه نازک ارتوتروپیک پیوسته با سختی متغیر مدل‌سازی شده است. استوانه با شرایط مرزی مختلف در نظر گرفته شده و حل معادلات دینامیکی پوسته بر اساس روش تجزیه فوریه و گالرکین می‌باشد. با استفاده از روش‌های بکار رفته، فرمول تحلیلی ارائه شده برای محاسبه فرکانس اساسی سازه مشبک، با شروع از تراکم خاصی از ساختار مشبک صورت پذیرفته و به تعداد دنده‌های مورب بستگی ندارد. این نتیجه با استفاده از تجزیه و تحلیل اجزای محدود

مورد تأیید قرار می‌گیرد. کاربردهای این فرمول برای تعیین پارامترهای سازه‌های مشبک و طراحی پوسته‌های مشبک کامپوزیتی بر اساس فرکانس‌های اساسی می‌باشد. بررسی‌های عددی ارائه شده نشانگر فرمول تحلیلی کارآمد و ابزاری برای محاسبه سریع فرکانس اساسی است که می‌تواند برای ارزیابی

تشکیل داده و نهایتاً حل می‌گردد. به منظور بررسی دقیق مدل و بدست آوردن معادلات حرکت پوسته استوانه‌ای مشبک، هر یک بطور جداگانه بحث شده است.

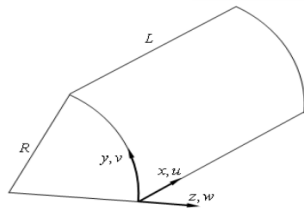
**معادلات بستر.** ساختار استوانه‌ای مشبک کامپوزیت بدین ترتیب در نظر گرفته شده است که از طرف شعاع خارجی، توسط یک بستر خطی، همگن و الاستیک در جهت محوری احاطه شده است. بستر وینکلر-پاسترناک را می‌توان به عنوان فنرهای لایه شعاعی و برشی با دو ضریب سختی  $K$  و  $G$  در محورهای طولی فرض کرد. فرض بر این است که فنرها دارای جابجایی خالص هستند، آنها کاملاً مستقل بوده و هیچ اثر تلفیقی و جفتی با یکدیگر ندارند. پاسخ ساده و معمول بستر به بارگذاری  $P(x,y)$  را می‌توان به این صورت نوشت:

$$p(x,y) = Kw - G\nabla^2 w \quad (1)$$

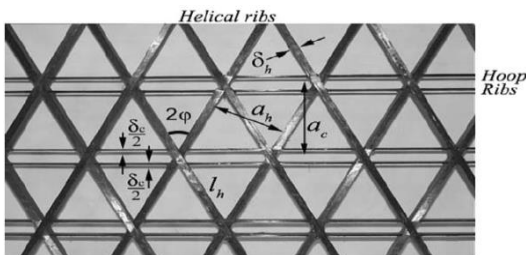
که در آن  $w$  جابجایی در امتداد  $y$  است و  $\nabla^2$  عملگر لاپلاس است.

$$\nabla^2 = \frac{\partial^2}{\partial \alpha^2} + \frac{1}{R^2} \frac{\partial^2}{\partial \beta^2} \quad (2)$$

شکل (۱) محورهای مختصات،  $\alpha$ ،  $\beta$  و  $\gamma$  پوسته استوانه‌ای، با شعاع  $R$  و طول  $L$  را نشان می‌دهد.



شکل ۱- الف مختصات و تغییر شکل در جهات طولی، محیطی و شعاعی [1]



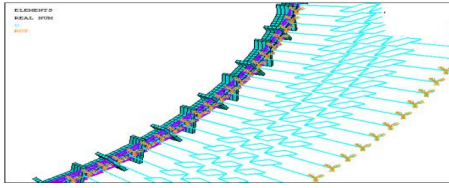
شکل ۱- ب نمایش پارامترهای هندسی سازه مشبک [1]

پردازنده‌اند. ایشان با تعیین خواص مواد، مزایای HISC نسبت به سیلندر تقویت شده ایزوگرید (ISC) مورد بحث قرار گرفت و می‌تواند به عنوان مرجعی برای طراحی بهینه فوق سبک و محکم عمل کند [14]. بانی جمالی و همکارانش رفتار ارتعاش آزاد یک پوسته مشبک مخروطی مدرج تابعی دوار و تقویت شده را بررسی کردند. ایشان معادلات حاکم بر اساس نظریه کلاسیک پوسته استخراج کرده با در نظر گرفتن اثرات شتاب گریز از مرکز و کوریولیس و همچنین کشش اولیه محیطی به دلیل چرخش پوسته در نظر گرفته‌اند. مسئله با روش گالرکین برای مرزهای مختلف حل گردیده و فرکانس‌های به دست آمده با فرکانس‌های موجود در سایر منابع مقایسه شده است. در ضمن نتایج نرم-افزاری اجزای محدود برای نشان دادن تأثیر پارامترهای مختلف مانند هندسی پوسته و خواص مواد، تقویت کننده‌ها، سرعت چرخش، و شرایط مرزی مورد بحث قرار گرفته است [15].

در این مقاله معادلات حاکم بر دینامیک و ارتعاشات آزاد یک سازه کامپوزیتی مشبک با شرایط مرزی مختلف با روش گالرکین بصورت تحلیلی بدست آمده و سپس نتایج حاصل از روش تحلیلی با نتایج حاصل از روش اجزای محدود مقایسه گردیده‌اند. انتخاب المان تیر که دارای خواص لازم برای محاسبه و تحلیل‌های مختلف ارتعاشی می‌باشد، از موارد مهم در رسیدن به نتایج دقیق و درصد خطای کمتر است.

## معادلات حاکم

سازه‌های استوانه‌ای غیر ایزوگرید توسط شش متغیر طراحی معرفی می‌شوند. قطر  $D$  و طول  $L$  و پارامترهای هندسی سازه مشبک کامپوزیتی شامل ضخامت پوسته (ارتفاع دنده مایل در قطع برش عرضی)  $h$ ، زاویه دنده‌های مایل نسبت به طول  $\varphi$ ، ضخامت ریب‌های عمودی و مایل در مقطع عرضی  $\delta_c$  و  $\delta_h$  و فاصله‌های ریب‌های عمودی و مایل  $a_c$  و  $a_h$  نمایش داده می‌شود. شکل‌های (۱-الف و ب) مختصات و پارامترهای هندسی سازه مشبک را نمایش می‌دهند. برای استخراج معادلات حاکم بر فرکانس‌های طبیعی پوسته استوانه‌ای مشبک، از یک نظریه و مدل سازی کلاسیک بر پایه الاستیک در جهت شعاعی استفاده شده است. در مقاله حاضر معادلات حاکم بر پوسته سازه مشبک استخراج گردیده و سپس معادلات بستر وینکلر-پاسترناک به آنها اضافه می‌گردد که معادلات حاکم جدیدی را



شکل ۳ بستر الاستیک که توسط فنرهای شعاعی مدل‌سازی گردیده است

عبارات معادله (۴) باید با ایجاد معادلات ارتوتروپیک و شبه ارتوتروپیک که از مواد مرکب کامپوزیتی بدست می‌آیند، بصورت زیر قابل بیان خواهند بود:

$$\begin{bmatrix} N_\alpha \\ N_\beta \\ N_{\alpha\beta} \end{bmatrix} = \begin{bmatrix} B_{11} & B_{12} & 0 \\ B_{21} & B_{22} & 0 \\ 0 & 0 & B_{33} \end{bmatrix} \begin{bmatrix} \varepsilon_\alpha \\ \varepsilon_\beta \\ \varepsilon_{\alpha\beta} \end{bmatrix} \quad (5)$$

$$\begin{bmatrix} M_\alpha \\ M_\beta \\ M_{\alpha\beta} \end{bmatrix} = \begin{bmatrix} D_{11} & D_{12} & 0 \\ D_{21} & D_{22} & 0 \\ 0 & 0 & D_{33} \end{bmatrix} \begin{bmatrix} \kappa_\alpha \\ \kappa_\beta \\ \kappa_{\alpha\beta} \end{bmatrix}$$

بطوریکه  $B_{11}, B_{12}, B_{21}, B_{22}, B_{33}$  و  $(B_{12}=B_{21})$  و  $D_{11}, D_{12}, D_{21}, D_{22}, D_{33}$  کرنش‌های غشایی سطح میانی؛  $\kappa_\alpha, \kappa_\beta, \kappa_{\alpha\beta}$  تغییر مکان انحنای سطح میانی و  $\varepsilon_\alpha, \varepsilon_\beta, \varepsilon_{\alpha\beta}$  روابط تغییر مکان می‌باشند.

$$\varepsilon_{\alpha\beta} = \frac{\partial u}{\partial \beta} + \frac{\partial v}{\partial \alpha} \quad \varepsilon_\beta = \frac{\partial u}{\partial \beta} + \frac{w}{R} \quad \varepsilon_\alpha = \frac{\partial u}{\partial \alpha} \quad (6)$$

$$\kappa_\alpha = -\frac{\partial^2 w}{\partial \alpha^2}, \quad \kappa_\beta = -\frac{\partial^2 w}{\partial \beta^2} + \frac{1}{R} \frac{\partial v}{\partial \beta}, \quad \kappa_{\alpha\beta} = -2 \frac{\partial^2 w}{\partial \alpha \partial \beta} + \frac{1}{R} \frac{\partial v}{\partial \alpha}$$

چهار شرط مرزی مورد نیاز بصورت زیر در نظر گرفته می‌شود:

$$u=0, v=0, \omega=0, \frac{\partial w}{\partial \alpha} = 0$$

با جایگذاری روابط (۵ و ۶) در رابطه (۴)، معادله حاکم کلی حرکت که شامل خواص بستر وینکلر-پاسترناک نیز می‌باشد، در سومین عبارت از معادله (۶) بدست می‌آید.

$$-\frac{B_{12}}{R} \frac{\partial u}{\partial \alpha} - \frac{B_{22}}{R} \frac{\partial v}{\partial \beta} + \frac{D_{22}}{R} \frac{\partial^3 v}{\partial \beta^3} + \frac{D_{12} + 2D_{33}}{R} \frac{\partial^3 v}{\partial \alpha^2 \partial \beta} \quad (7)$$

$$-\frac{B_{22}}{R^2} w - D_{11} \frac{\partial^4 w}{\partial \alpha^4} - 2(D_{12} + 2D_{33}) \frac{\partial^4 w}{\partial \alpha^2 \partial \beta^2}$$

$$- D_{22} \frac{\partial^4 w}{\partial \beta^4} - Kw + G \frac{\partial^2 w}{\partial \alpha^2} + \frac{G}{R^2} \frac{\partial^2 w}{\partial \beta^2} + B_\rho \omega^2 w = 0$$

معادله حاکم بر پوسته مشبک استوانه‌ای. معادله حرکت با استفاده از نظریه کلاسیک پوسته‌های استوانه‌ای ارتوتروپیک استخراج شده است. برای استفاده از مدل پیوسته پوسته، از تعداد دنده مارپیچ و حلقوی برای ساختار مشبک استفاده می‌شود. ساختار استوانه‌ای کامپوزیت مشبک با پوسته ارتوتروپیک پیوسته با سختی موثر معادل جایگزین می‌گردد. معادله حرکت در مختصات استوانه‌ای به شرح زیر است:

$$\frac{\partial N_\alpha}{\partial \alpha} + \frac{\partial N_{\alpha\beta}}{\partial \beta} - B_\rho \frac{\partial^2 u}{\partial t^2} = 0$$

$$\frac{\partial N_{\alpha\beta}}{\partial \alpha} + \frac{\partial N_\beta}{\partial \beta} + \frac{1}{R} \frac{M_{\alpha\beta}}{\partial \beta} + \frac{1}{R} \frac{M_\beta}{\partial \beta} - B_\rho \frac{\partial^2 v}{\partial t^2} = 0 \quad (8)$$

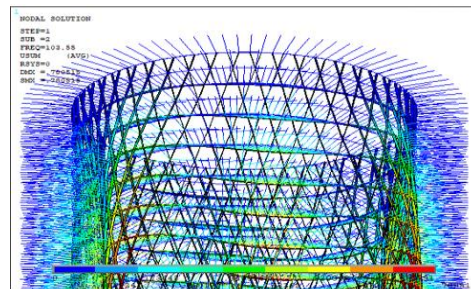
$$\frac{\partial^2 M_\alpha}{\partial \alpha^2} + \frac{2\partial^2 M_{\alpha\beta}}{\partial \alpha \partial \beta} + \frac{\partial^2 M_\beta}{\partial \beta^2} - \frac{N_\beta}{R} - B_\rho \frac{\partial^2 w}{\partial t^2} = 0$$

که در آن  $B_\rho$  جرم واحد سطح می‌باشد. همچنین  $N_\alpha, N_\beta, N_{\alpha\beta}$  و  $M_\alpha, M_\beta, M_{\alpha\beta}$  به ترتیب مولفه‌های تنش ناشی از خمش و پیچش می‌باشند. تغییر مکان‌های  $u, v, w$  به ترتیب در طول محورهای  $\alpha, \beta, \gamma$  است. عبارت بستر وینکلر-پاسترناک را می‌توان به سومین عبارت معادله (۳) اضافه نمود بطوریکه عبارت (۴) بدست آید. شکل‌های (۲ و ۳) نشان دهنده فنرها در جهت شعاعی بعنوان محیط الاستیک می‌باشند که توسط سطح بیرونی سازه پوسته محدود می‌شوند.

$$\frac{\partial N_\alpha}{\partial \alpha} + \frac{\partial N_{\alpha\beta}}{\partial \beta} - B_\rho \frac{\partial^2 u}{\partial t^2} = 0 \quad (8)$$

$$\frac{\partial N_{\alpha\beta}}{\partial \alpha} + \frac{\partial N_\beta}{\partial \beta} + \frac{1}{R} \frac{M_{\alpha\beta}}{\partial \beta} + \frac{1}{R} \frac{M_\beta}{\partial \beta} - B_\rho \frac{\partial^2 v}{\partial t^2} = 0$$

$$\frac{\partial^2 M_\alpha}{\partial \alpha^2} + \frac{\partial^2 M_{\alpha\beta}}{\partial \alpha \partial \beta} + \frac{\partial^2 M_\beta}{\partial \beta^2} - \frac{N_\beta}{R} - B_\rho \frac{\partial^2 w}{\partial t^2} = Kw - G\nabla^2 w$$



شکل ۲ پوسته مشبک با محیط الاستیک در اطراف آن

روش گالرکین جهت حل یک مسئله مقدارمرزی مانند معادله (۱۱) همگن استفاده می شود. لذا تابعی تقریبی و مناسب برای پیدا کردن پاسخی سریع برای ارضاء شرایط مرزی گیردار- گیردار برای پیدا کردن مودهای ارتعاشی پایه پو سته استوانه‌ای شکل مطرح شده در معادله (۱۲)، استفاده می گردد. تابع تقریبی بصورت زیر در فرض می گردد:

$$u_n = U_n \frac{dX}{d\alpha}, \quad v_n = V_n X, \quad w_n = W_n X \quad (13)$$

$$X = \cosh \frac{\lambda \alpha}{L} - \cos \frac{\lambda \alpha}{L} - \sigma \left( \sinh \frac{\lambda \alpha}{L} - \sin \frac{\lambda \alpha}{L} \right) \quad \text{بطوریکه:}$$

در رابطه بالا  $\lambda$  و  $\sigma$  مقادیر ثابت هستند. با توجه به روش گالرکین رابطه میزان خطا بصورت زیر داده می شود:

$$Z_a = \left( B_{11} \frac{d^3 X}{d\alpha^3} - B_{33} \lambda_n^2 \frac{dX}{d\alpha} \right) U_n + (B_{12} + B_{33}) \lambda_n V_n \frac{dX}{d\alpha} +$$

$$\frac{B_{12}}{R} \frac{dX}{d\alpha} W_n + B \rho \omega_n^2 \frac{dX}{d\alpha} U_n$$

$$Z_b = -(B_{12} + B_{33}) \lambda_n U_n \frac{d^2 X}{d\alpha^2} +$$

$$\left[ \left( B_{33} + \frac{D_{33}}{R^2} \right) \frac{d^2 X}{d\alpha^2} - \left( B_{22} + \frac{D_{22}}{R^2} \right) \lambda_n^2 X \right] V_n$$

$$+ \lambda_n \left( \frac{D_{12} + 2D_{33}}{R} \frac{d^2 X}{d\alpha^2} - \frac{B_{22} + D_{22} \lambda_n^2}{R} X \right) W_n + B \rho \omega_n^2 X V_n$$

$$Z_c = \frac{-B_{12}}{R} \left[ \frac{d}{d\alpha} U_n \frac{dX}{d\alpha} \right] - \frac{\lambda_n}{R} (B_{22} + D_{22} \lambda_n^2) V_n X +$$

$$\frac{D_{12} + 2D_{33}}{R} \lambda_n \frac{d^2}{d\alpha^2} [V_n X] - \left( \frac{B_{22}}{R^2} + D_{22} \lambda_n^4 \right) W_n X$$

$$- D_{11} \frac{d^4}{d\alpha^4} (W_n X) + 2(D_{12} + 2D_{33}) \lambda_n^2 \frac{d^2}{d\alpha^2} (W_n X) +$$

$$B \rho \omega_n^2 W_n X - K W_n X + G \frac{d^2}{d\alpha^2} (W_n X) - \frac{1}{R^2} G \lambda_n^2 W_n X$$

(۱۴)

محاسبه مقادیر نامعلوم  $U_n$  و  $V_n$  و  $W_n$  از طریق معادله (۱۴)

امکانپذیر خواهد بود و بدین ترتیب تابع تقریبی  $X$  و  $\frac{dX}{d\alpha}$  بدست می آید. با روش گالرکین عبارات زیر بدست می آید:

$$\int_0^L z_\alpha \frac{dX}{d\alpha} d\alpha = 0 \quad \int_0^L z_\beta X d\alpha = 0 \quad \int_0^L z_\gamma X d\alpha = 0 \quad (15)$$

جهت حل تحلیلی معادله (۷)، تغییر مکان های  $u$ ،  $v$  و  $w$  بصورت زیر در نظر گرفته می شوند:

$$\begin{cases} u(\alpha, \beta, t) = u(\alpha, \beta) \cos \omega t \\ v(\alpha, \beta, t) = v(\alpha, \beta) \cos \omega t \\ w(\alpha, \beta, t) = w(\alpha, \beta) \cos \omega t \end{cases} \quad (8)$$

با جایگذاری معادله (۸) در معادله (۷) می توان رابطه (۹) را داشت:

$$\begin{aligned} & -\frac{B_{12}}{R} \frac{\partial u}{\partial \alpha} - \frac{B_{22}}{R} \frac{\partial v}{\partial \beta} + \frac{D_{22}}{R} \frac{\partial^3 v}{\partial \beta^3} + \\ & \frac{D_{12} + 2D_{33}}{R} \frac{\partial^3 v}{\partial \alpha^2 \partial \beta} - \frac{B_{22}}{R^2} w - D_{11} \frac{\partial^4 w}{\partial \alpha^4} \\ & - 2(D_{12} + 2D_{33}) \frac{\partial^4 w}{\partial \alpha^2 \partial \beta^2} - D_{22} \frac{\partial^4 w}{\partial \beta^4} + \\ & + B \rho \omega_n^2 w - K w + G \frac{\partial^2}{\partial \alpha^2} (\omega \cos \omega t) + \frac{G}{R^2} \frac{\partial^2}{\partial \beta^2} (\omega \cos \omega t) = 0 \end{aligned} \quad (9)$$

با حل معادله بدست آمده با شرایط مرزی ذکر شده، فرکانس طبیعی برای پوسته استوانه‌ای مشبک قرار گرفته بر روی بستر الاستیک وینکلر-پاسترناک بدست می آید. حال می توان با استفاده از سریهای مثلثاتی برای یافتن پاسخ تغییر مکان در طول محیط استوانه که بصورت متناوب تکرار می گردد، استفاده نمود.

$$u(\alpha, \beta) = \sum_{n=1}^{\infty} u_n(\alpha) \cos \lambda_n \beta$$

$$w(\alpha, \beta) = \sum_{n=1}^{\infty} w_n(\alpha) \cos \lambda_n \beta \quad (10)$$

$$v(\alpha, \beta) = \sum_{n=1}^{\infty} v_n(\alpha) \sin \lambda_n \beta$$

با جایگذاری معادله (۱۰) در معادله (۹) می توان به یک معادله دیفرانسیل ساده و همگن رسید.

$$\begin{aligned} & \frac{B_{12}}{R} \frac{\partial u_n}{\partial \alpha} - \frac{\lambda_n}{R} (B_{22} + D_{22} \lambda_n^2) v_n + \\ & \frac{D_{12} + 2D_{33}}{R} \lambda_n \frac{d^2 v_n}{d\alpha^2} - \left( \frac{B_{22}}{R^2} + D_{22} \lambda_n^4 \right) w_n \end{aligned} \quad (11)$$

$$- D_{11} \frac{\partial^4 w_n}{\partial \alpha^4} + 2(D_{12} + 2D_{33}) \lambda_n^2 \frac{\partial^2 w_n}{\partial \alpha^2} - K w_n + G \frac{\partial^2 w_n}{\partial \alpha^2}$$

$$- \frac{1}{R^2} G w_n \lambda_n^2 + B \rho \omega_n^2 w_n = 0$$

بطوریکه  $\omega_n$  فرکانس طبیعی  $n$ ام می باشد. لذا شرایط مرزی جدید مطابق با معادله (۱۱) بصورت زیر بیان می شود.

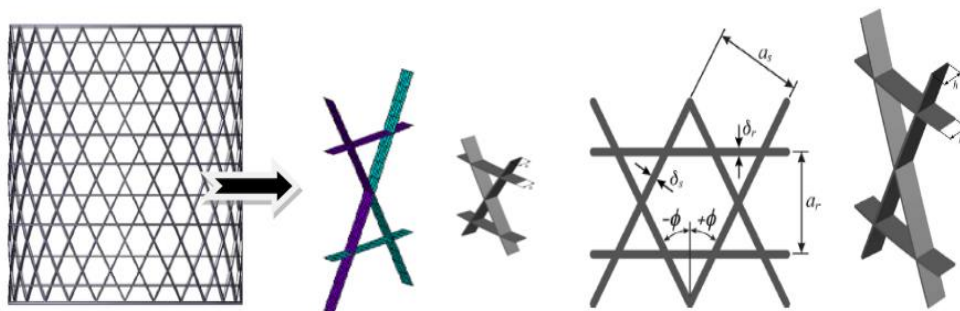
$$u_n = 0, \quad v_n = 0, \quad w_n = 0, \quad \frac{dw_n}{d\alpha} = 0 \quad (12)$$

$$\text{بطوریکه } \bar{U}_n = \frac{U_n}{L} \text{ و } s = \frac{L}{R}$$

پارامترهای معادله (۱۶) از مدل پیوسته پوسته مشبک استوانه‌ای در ضمیمه (A1) آورده شده است. پوسته مشبک استوانه‌ای شامل دنده‌های محیطی و مورب است که از میان یکدیگر مطابق شکل (۴) عبور می‌کنند. همچنین پارامترهای این سازه در جدول (۱) داده شده است.

با جایگذاری معادله (۱۴) در (۱۵) و فرض  $\xi = \sigma\lambda(\sigma\lambda - 2)$  رابطه (۱۱) بعد از برخی ساده‌سازی‌ها بصورت زیر مطرح می‌گردد.

$$-B_{12}\bar{U}_n\xi + n\left[\left(B_{22} + \frac{D_{22}}{R^2}n^2\right)s + \left(\frac{D_{12} + 2D_{33}}{R^2}\frac{\xi}{s}\right)\right]V_n + \left[\left(B_{22} + D_{22}\frac{n^4}{R^2} + \frac{D_{11}}{R^2}\frac{\lambda^4}{s^4}\right) + 2\left(\frac{D_{12} + 2D_{33}}{R^2}\right)n^2\frac{\xi}{s} + G\frac{\xi}{s} + \left(K + G\frac{n^2}{R^4}\right)sR^2\right]W_n - \omega_n^2 B_\rho RLW_n = 0 \quad (16)$$



شکل ۴ سازه مشبک استوانه‌ای شامل دنده‌های محیطی و مورب

جدول ۱ مقادیر و پارامترهای سازه مشبک

پارامترها	تعاریف	مقادیر
$\rho$	چگالی (کیلوگرم بر متر مکعب)	۱۵۵۰
E	ضریب الاستیک (نیوتن بر متر مربع)	$7.0 \times 10^9$
R	شعاع سطح مقطع مشبک (متر)	۰/۵
L	طول موثر استوانه مشبک (متر)	۲
$\delta_s$	ضخامت دنده‌های مایل (میلی‌متر)	۲
$\delta_r$	ضخامت دنده‌های محیطی (میلی‌متر)	۲
$\rho_s$	چگالی دنده‌های مایل (کیلوگرم بر متر مکعب)	۱۵۵۰
$\rho_r$	چگالی دنده‌های محیطی (کیلوگرم بر متر مکعب)	۱۵۵۰
H	ارتفاع دنده‌ها (میلی‌متر)	۸
L/R	نسبت طول به شعاع	۴
R/H	نسبت شعاع به ارتفاع دنده‌ها	۶۲/۵
$\nu$	ضریب پواسون	۰/۳۲
$\Phi$	زاویه بین دنده‌های مایل	$15^\circ$
$n_s$	تعداد دنده‌های مایل	۴۸
K	ضرایب پاسترناک	۱۰° و ۱۰۰ و ۱۰۰۰ و ۱۰۰۰۰ و ۱۰⁴
G	ضرایب وینکلر	۰، ۱۰، ۲۵، ۵۰، ۷۵، ۱۰۰، ۵۰۰



که با در نظر گرفتن عبارت منفی و فرض زیر می توان رابطه نهایی را بدست آورد.

$$a=g_{11}q_{22}, b=c_{11}g_{22}+c_{22}g_{11}+P_{ss}g_{11} \quad (22)$$

$$c=c_{11}c_{22}-c_{12}^2+c_{11}P_{ss}$$

مقادیر فرکانس  $\omega_n$  بصورت زیر ارائه می گردد:

$$\omega_n = \xi_n \sqrt{\frac{E_s}{\rho_s R l}} \quad (23)$$

فرمول بدست آمده یک رابطه مستقیم برای بدست آوردن فرکانس طبیعی یک پوسته مشبک استوانه‌ای با در نظر گرفتن بستر الاستیک وینکلر-پاسترناک می باشد که می تواند در طراحی سازه‌های مشبک جهت کاهش زمان محاسبه استفاده گردد.

### نتایج عددی و صحت سنجی

در مدل‌سازی روش اجزای محدود، یک ترکیب المان سه بعدی برای سازه مشبک و لایه برشی برای پارامتر وینکلر (در جهت شعاع سطح مقطع استوانه) در نظر گرفته می شود. المان دارای قابلیت‌های سه بعدی و جابجایی خالص و بدون کوپلینگ می باشد. فرض می گردد که المان بدون چرخش باشد. همچنین المان فنر بدون جرم در جهت شعاعی فرض می گردد. در اولین قدم جهت مدل‌سازی یک سازه مشبک، کوچکترین سلول یک سازه مشبک ایجاد می گردد و با تکرار آن در طول محورها مدل کامل به دست می آید. برای این امر ابتدا یک بال از دنده‌های مایل و عمودی به همراه ضخامت H و شعاع R در دستگاه مختصات کارتزین با ۱۰ نقطه تعریف می شود. با انتخاب خط به مرز بندی نواحی پرداخته و امکان ایجاد سطح مقطع نیمی از یک دنده مایل یا عمودی انجام می پذیرد. سپس با قرینه‌سازی شکل بدست آمده نسبت به محور قائم سمت دیگر دنده‌ها ایجاد و به همین ترتیب مش بندی می گردد. در مرحله بعد اولین حلقه از سازه مشبک ایجاد می گردد. پس از اتمام مدل‌سازی شرایط مرزی لازم تمام درجات آزادی گره‌های ابتدایی و انتهایی بسته می شود. تمامی نقاط با هم مرج شده و تلورانس مدل‌سازی جهت بدست آوردن یک مدل واحد در نظر گرفته می شود برای بستر می توان از یک سری فنرهایی که در طول شعاع پوسته استوانه‌ای در قسمت خارجی به صورتی المان فنر به عنوان پارامترهای وینکلر و پاسترناک در نظر گرفت. جهت مدل‌سازی از المان shell-181 با چهار گره استفاده شده است. از این جهت مدل‌سازی سازه با

با استفاده از پارامترهایی که در ضمیمه A1 و A2 آورده شده است و با جایگذاری در معادله (۱۶) و تقسیم نتیجه بر عبارت  $E_s \sigma_s n_s \frac{h}{R}$ ، رابطه زیر بدست می آید:

$$\begin{aligned} & -\frac{E_s \sigma_s}{s R} n_s f_{12} h \bar{U}_n \xi + \\ & n \left[ \left( E_s \frac{\sigma_s}{R} n_s f_{12} h + \frac{h^3}{12} E_s \frac{\sigma_s}{R} n_s f_{12} \right) s + \right. \\ & \left. \frac{1}{R^2} \left( \frac{h^2}{12} E_s \frac{\sigma_s}{R} n_s f_{12} + \frac{2h^3}{12} E_s \frac{\sigma_s}{R} n_s f_{12} \right) n^2 \frac{\xi}{s} \right] V_n + \\ & \left[ n t_s \frac{\sigma_s}{R} n_s f_{22} + \frac{h^3}{12} E_s \frac{\sigma_s}{R} n_s f_{22} \frac{n^4}{R^2} + \right. \\ & \left. \frac{h^3}{12 R^2} \frac{\lambda^4}{s^4} n_s f_n + \frac{2}{R^2} \left( \frac{h^3}{R} E_s \frac{\sigma_s}{R} n_s f_{12} + 2 \frac{h^3}{12} E_s \right) + \right. \\ & \left. \frac{1}{R^2} G \frac{\xi}{s} + \left( K + \frac{1}{R^2} G \frac{n^2}{R^2} \right) s R^2 \right] W_n \\ & -\omega_n^2 h \delta \frac{\sigma_s}{R} n_s \rho_p R L W_n = 0 \quad (17) \end{aligned}$$

پارامتر بی بعد فرکانس بصورت زیر بیان می گردد:

$$\eta_n = \omega_n^2 \frac{\rho_s}{E_s} R l \quad (18)$$

با صرف نظر از تغییر مکان در جهت  $\alpha$  در مقایسه با تغییر مکان در راستای محیطی می توان معادله فشرده زیر را مطرح نمود:

$$\begin{cases} (c_{11} - \eta_n g_{11}) V_n + c_{12} W_n = 0 \\ c_{21} V_n + (c_{22} - \eta_n g_{22} + p_{ss}) W_n = 0 \end{cases} \quad (19)$$

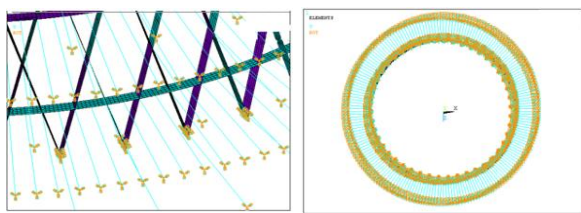
پارامترهای معادله (۱۹) در ضمیمه A3 آورده شده است. با قرار دادن دترمینان ضرایب برابر با صفر رابطه (۲۰) بدست می آید.

$$\det \begin{vmatrix} c_{11} - \eta_n g_{11} & c_{12} \\ c_{21} & c_{22} - \eta_n g_{22} + P_{ss} \end{vmatrix} = 0 \Rightarrow a \eta_n^2 - b \eta_n + c = 0 \quad (20)$$

ریشه معادله خواهد بود:

$$\eta_n = \frac{b \pm \sqrt{b^2 - 4ac}}{2a} \quad (21)$$

نشان داده شده است، با افزایش تعداد دنده های مارپیچ به طور خاص بیش از ۴۸، و با داشتن بستر الاستیک، فرکانس های طبیعی افزایش می یابد. نتایج در جدول (۲)، با استخراج معادلات حاکم با شرایط مرزی، با استفاده از روش گالرکین، با و بدون بستر الاستیک بدست آمده و با نتایج روش اجزای محدود مطابقت خوبی دارد. همچنین شکل (۶) نشان می دهد که نتایج حاصل از راه حل های تحلیلی با نتایج مرجع [4] برای سازه مشبک بدون بستر الاستیک مطابقت خوبی دارد. همچنین نشان می دهد که نتایج حاصل از راه حل های تحلیلی با در نظر گرفتن بستر الاستیک مطابقت خوبی با نتایج حاصل از روش اجزای محدود دارند.

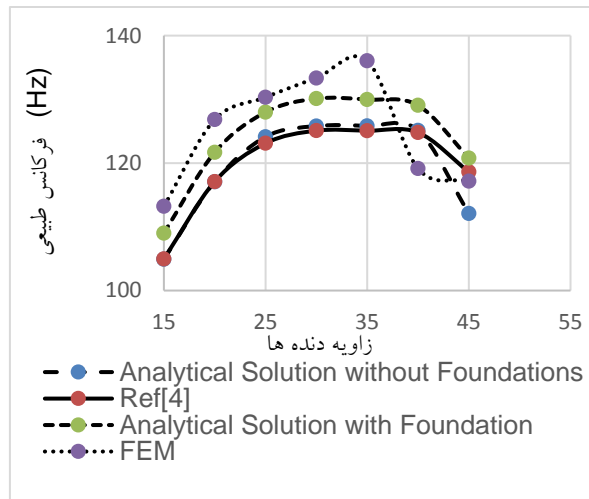


شکل ۵ مدل استوانه مشبک با بستر الاستیک

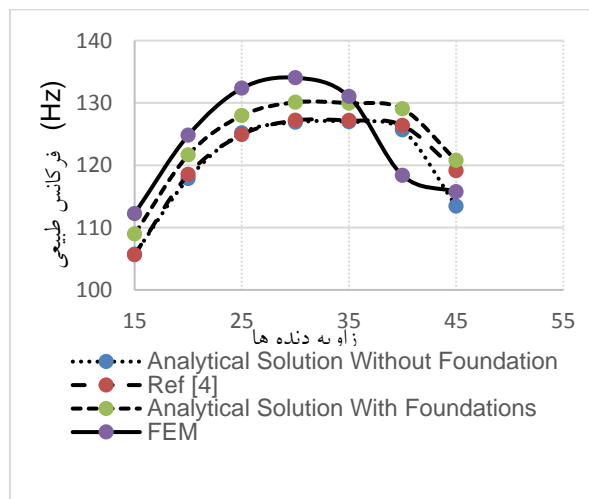
ضخامت متوسط استفاده می گردد. از چهار گره که هر کدام دارای ۶ درجه آزادی هستند، شامل سه جابجایی و سه درجه آزادی چرخشی است. برای بستر نیز از المان 14 combine استفاده گردیده است. شکل (۵) بستر مدل سازی شده با استفاده از المان های فنر که در یک انتها به سازه متصل و در انتهای دیگر بسته می باشند را، نمایش می دهد قبل از محاسبه فرکانس های طبیعی ساختار مشبک بر روی بستر الاستیک، محاسبه تحلیلی برای اعتبار سنجی معادله، از طریق مقایسه فرکانس های طبیعی پوسته مشبک، بدون بستر الاستیک با مطالعات قبلی انجام شده و سپس با افزودن بستر الاستیک، فرمول تحلیلی جدیدی بدست آمده است. در مدل سازی با روش اجزای، تعداد المان های موجود برای سازه مشبک با طول ۲ متر و تعداد حداقل دنده های  $n_s=48$  به همراه فنرها جهت مدل سازی بستر پاسترناک، ۲۸۴۰۳ می باشد. نتایج نشان داد که با افزودن بستر الاستیک، ضرایب مدول وینکلر و پاسترناک تأثیر فوق العاده ای در افزایش فرکانس های طبیعی ساختار مشبک دارند. همانطور که در نتایج جدول (۲)

جدول ۲ فرکانس های طبیعی بدون در نظر گرفتن بستر وینکلر-پاسترناک برای طول ۲ متر

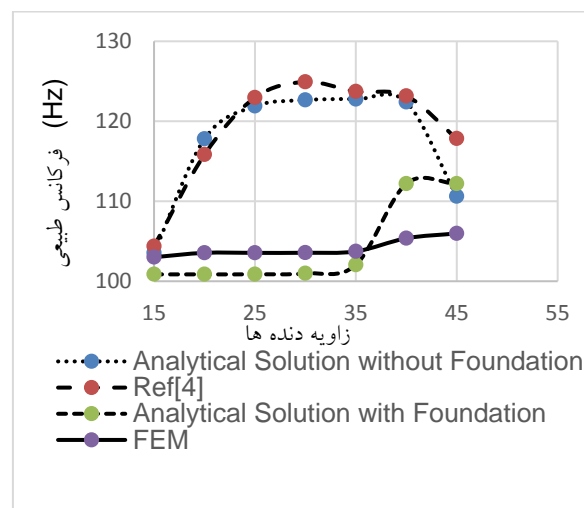
محاسبه فرکانس طبیعی بدون در نظر گرفتن بستر وینکلر-پاسترناک						
ns	۴۸		۶۰		۷۲	
زاویه دنده	تحلیلی	مرجع [4]	تحلیلی	مرجع [4]	تحلیلی	مرجع [4]
۱۵	۱۰۳/۵۵	۱۰۴/۳۷	۱۰۴/۹	۱۰۴/۹۶	۱۰۵/۷۰	۱۰۵/۶۴
۲۰	۱۱۷/۷۹	۱۱۵/۸۳	۱۱۷/۰۷	۱۱۷/۱۰	۱۱۷/۸۶	۱۱۸/۵۲
۲۵	۱۲۱/۸۹	۱۲۲/۹۶	۱۲۴/۱۲	۱۲۳/۱۱	۱۲۵/۱۷	۱۲۴/۹۱
۳۰	۱۲۲/۶۵	۱۲۴/۹۲	۱۲۵/۸۱	۱۲۵/۰۹	۱۲۶/۹۰	۱۲۷/۱۹
۳۵	۱۲۲/۷۶	۱۲۳/۷۳	۱۲۵/۸۲	۱۲۵/۰۸	۱۲۶/۹۷	۱۲۷/۱۷
۴۰	۱۲۲/۳۹	۱۲۳/۱۷	۱۲۵/۱۳	۱۲۴/۸۰	۱۲۵/۶۶	۱۲۶/۳۹
۴۵	۱۱۰/۶۱	۱۱۷/۸۳	۱۱۲/۱	۱۱۸/۶۲	۱۱۳/۴۳	۱۱۹/۱
محاسبه فرکانس طبیعی با در نظر گرفتن بستر وینکلر-پاسترناک						
ns	۴۸		۶۰		۷۲	
زاویه دنده	تحلیلی	FEM	تحلیلی	FEM	تحلیلی	FEM
۱۵	۱۰۰/۸۶	۱۰۰/۰۱	۱۰۹/۰۹	۱۳۳/۲۲	۱۰۸/۹۷	۱۱۲/۲۴
۲۰	۱۰۰/۸۶	۱۰۳/۵۵	۱۲۱/۶۸	۱۲۶/۸۳	۱۲۱/۶۵	۱۲۴/۸۰
۲۵	۱۰۰/۸۷	۱۰۳/۵۵	۱۲۷/۹۹	۱۳۰/۳۲	۱۲۷/۹۷	۱۳۲/۳۵
۳۰	۱۰۰/۹۸	۱۰۳/۵۶	۱۳۰/۱۲	۱۳۳/۳۵	۱۳۰/۱۰	۱۳۴/۰۴
۳۵	۱۰۲/۰۵	۱۰۳/۷۳	۱۲۹/۹۷	۱۳۶/۰۵	۱۲۹/۹۵	۱۳۱/۰۲
۴۰	۱۱۲/۱۹	۱۰۵/۳۷	۱۲۹/۰۶	۱۱۹/۱۶	۱۲۹/۰۴	۱۱۸/۳۶
۴۵	۱۱۲/۲۰	۱۰۵/۹۸	۱۲۰/۷۹	۱۱۷/۱۷	۱۲۰/۷۸	۱۱۵/۷۴



شکل ۶ مقایسه فرکانس‌های طبیعی سازه مشبک با و بدون در نظر گرفتن بستر الاستیک با تعداد دنده‌های ns=48



شکل ۷ مقایسه فرکانس‌های طبیعی سازه مشبک با و بدون در نظر گرفتن بستر الاستیک با تعداد دنده‌های ns=60



شکل ۸ مقایسه فرکانس‌های طبیعی سازه مشبک با و بدون در نظر گرفتن بستر الاستیک با تعداد دنده‌های ns=72

می‌گردد که فرکانس‌های طبیعی بدون بستر الاستیک کاهش می‌یابند. برای مطالعه تأثیر ضرایب بستر،  $K$  و  $G$ ، فرکانس‌های طبیعی

در شکل‌های (۸-۶) مقادیر فرکانس‌های طبیعی برای تعداد دنده و زاویه‌های مختلف نشان داده شده است. همچنین مشاهده

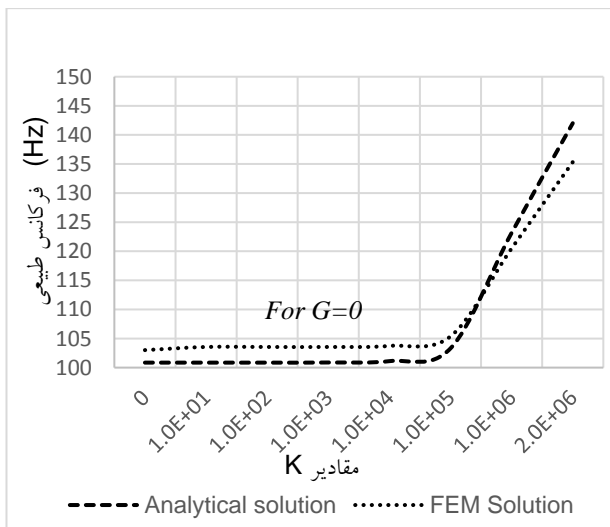
به کامپیوترهای پیشرفته با پردازنده‌های موازی نیاز است. جدول (۳) تغییرات ضرایب وینکلر و پاسترناک و تأثیر آنها بر فرکانس‌های طبیعی را نشان می‌دهد. سختی سازه تحت تأثیر دو ضریب است و هر یک از آنها نقش مهمی در تغییر فرکانس‌های طبیعی دارد.

سازه، با استفاده از معادله جایگزین (۲۳) محاسبه گردیده است. از آنجا که تجزیه و تحلیل مود با المان‌های بسیار زیادی برای طول ۴ متر و دنده‌های محیطی ۶۰ و ۷۲ زمان و محاسبات زیادی را می‌طلبد، بنابراین محاسبات برای استوانه بطول ۲ متر و زاویه دنده ۱۵ درجه انجام شده است. برای محاسبه فرکانس‌های طبیعی استوانه با طول و زاویه دیگر، با تعداد دنده‌های مختلف محیطی،

جدول ۳ فرکانس‌های طبیعی محاسبه شده توسط فرمول‌های تحلیلی با تغییرات ضریب بستر الاستیک برای طول ۲ متر

(k,G)	فرکانس طبیعی (Hz)	(k,G)	فرکانس طبیعی (Hz)
(۱۰،۱۰)	۱۰۰/۹۲	(۱۰،۰)	۱۰۰/۸۶
(۱۰۰،۱۰)	۱۰۰/۹۳	(۱۰۰،۰)	۱۰۰/۸۶
(۱۰۰۰،۱۰)	۱۰۰/۹۵	(۲×۱۰ <sup>۳</sup> ،۰)	۱۰۰/۸۹
(۱۰ <sup>۴</sup> ،۱۰)	۱۰۱/۱۷	(۱۰ <sup>۴</sup> ،۰)	۱۰۱/۱۰
(۱۰ <sup>۵</sup> ،۱۰)	۱۰۳/۳۷	(۱۰ <sup>۵</sup> ،۰)	۱۰۳/۳۰
(۱۰ <sup>۶</sup> ،۱۰)	۱۲۳/۲۲	(۱۰ <sup>۶</sup> ،۰)	۱۲۳/۱۷
(۰،۲×۱۰ <sup>۶</sup> )	۱۴۲/۰۶	(۲×۱۰ <sup>۶</sup> ،۰)	۱۴۲/۰۱
(۳×۱۰ <sup>۶</sup> ،۱۰)	۱۵۸/۶۷	(۳×۱۰ <sup>۶</sup> ،۰)	۱۵۸/۶۳
(۱۰،۵۰)	۱۰۱/۱۹	(۱۰،۲۵)	۱۰۱/۰۲
(۱۰۰،۵۰)	۱۰۱/۱۹	(۱۰۰،۲۵)	۱۰۱/۰۳
(۱۰۰۰،۵۰)	۱۰۱/۲۱	(۱۰۰۰،۲۵)	۱۰۱/۰۵
(۱۰ <sup>۴</sup> ،۵۰)	۱۰۱/۴۴	(۱۰ <sup>۴</sup> ،۲۵)	۱۰۱/۲۷
(۱۰ <sup>۵</sup> ،۵۰)	۱۰۳/۶۳	(۱۰ <sup>۵</sup> ،۲۵)	۱۰۳/۴۷
(۱۰ <sup>۶</sup> ،۵۰)	۱۲۳/۴۸	(۱۰ <sup>۶</sup> ،۲۵)	۱۲۳/۳۰
(۲×۱۰ <sup>۶</sup> ،۵۰)	۱۴۲/۲۵	(۲×۱۰ <sup>۶</sup> ،۲۵)	۱۴۲/۱۳
(۳×۱۰ <sup>۶</sup> ،۵۰)	۱۵۸/۸۴	(۳×۱۰ <sup>۶</sup> ،۲۵)	۱۵۸/۷۴
(۱۰،۷۵)	۱۰۱/۳۵	(۱۰،۱۰۰)	۱۰۱/۵۲
(۱۰۰،۷۵)	۱۰۱/۳۶	(۱۰۰،۱۰۰)	۱۰۱/۵۲
(۱۰۰۰،۷۵)	۱۰۱/۳۸	(۱۰۰۰،۱۰۰)	۱۰۱/۵۴
(۱۰ <sup>۴</sup> ،۷۵)	۱۰۱/۶۰	(۱۰ <sup>۴</sup> ،۱۰۰)	۱۰۱/۷۷
(۱۰ <sup>۵</sup> ،۷۵)	۱۰۳/۷۹	(۱۰ <sup>۵</sup> ،۱۰۰)	۱۰۳/۹۵
(۱۰ <sup>۶</sup> ،۷۵)	۱۲۳/۵۷	(۱۰ <sup>۶</sup> ،۱۰۰)	۱۲۳/۷۱
(۲×۱۰ <sup>۶</sup> ،۷۵)	۱۴۲/۳۶	(۲×۱۰ <sup>۶</sup> ،۱۰۰)	۱۴۲/۴۸
(۳×۱۰ <sup>۶</sup> ،۷۵)	۱۵۸/۹۵	(۳×۱۰ <sup>۶</sup> ،۱۰۰)	۱۵۹/۰۵
(۱۰،۵۰۰)	۱۰۱/۵۲	(۱۰،۱۰۰۰)	۱۰۷/۳۰
(۱۰۰،۵۰۰)	۱۰۱/۵۲	(۱۰۰،۱۰۰۰)	۱۰۷/۳۱
(۱۰۰۰،۵۰۰)	۱۰۱/۵۴	(۱۰۰۰،۱۰۰۰)	۱۰۷/۳۲
(۱۰ <sup>۴</sup> ،۵۰۰)	۱۰۱/۷۷	(۱۰ <sup>۴</sup> ،۱۰۰۰)	۱۰۷/۵۳
(۱۰ <sup>۵</sup> ،۵۰۰)	۱۰۳/۹۵	(۱۰ <sup>۵</sup> ،۱۰۰۰)	۱۰۹/۶۰
(۱۰ <sup>۶</sup> ،۵۰۰)	۱۲۳/۷۱	(۱۰ <sup>۶</sup> ،۱۰۰۰)	۱۲۸/۴۹
(۲×۱۰ <sup>۶</sup> ،۵۰۰)	۱۴۲/۴۸	(۲×۱۰ <sup>۶</sup> ،۱۰۰۰)	۱۴۶/۶۵
(۳×۱۰ <sup>۶</sup> ،۵۰۰)	۱۵۹/۰۵	(۳×۱۰ <sup>۶</sup> ،۱۰۰۰)	۱۶۲/۸۰

فرکانس‌های طبیعی حاصل از حل تحلیلی و روش اجزای محدود در جدول (۴) برای  $n_s = 48$  دنده مقایسه شده و مقادیر خطا نیز محاسبه گردیده است. این محاسبات را می‌توان برای  $n_s = 60$  و ۷۲ دنده به ازای زوایای دیگر تکرار کرد بطوریکه منجر به رسم نمودارهای زیادی می‌شود. روند افزایش فرکانس طبیعی پایه را می‌توان بین دو سری از نتایج را در یک جدول مقایسه کرد و به عنوان یک نمودار در شکل (۱۰) نشان داده شده است.



شکل ۱۰ روند افزایش فرکانس طبیعی پایه بین نتایج تحلیلی و اجزای محدود

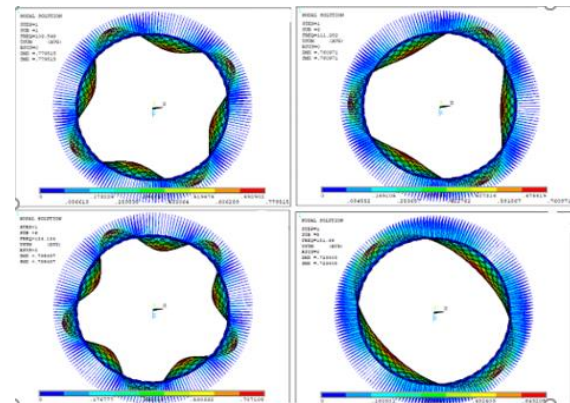
فرکانس‌های طبیعی حاصل از حل تحلیلی و روش اجزای محدود در جدول (۴) برای  $n_s = 48$  دنده مقایسه شده و مقادیر خطا نیز محاسبه گردیده است. این محاسبات را می‌توان برای  $n_s = 60$  و ۷۲ دنده به ازای زوایای دیگر تکرار کرد بطوریکه منجر به رسم نمودارهای زیادی می‌شود. روند افزایش فرکانس طبیعی پایه را می‌توان بین دو سری از نتایج را در یک جدول مقایسه کرد و به عنوان یک نمودار در شکل (۱۰) نشان داده شده است.

### نتیجه‌گیری

مسئله ارتعاشات آزاد پوسته استوانه‌ای مشبک کامپوزیتی که توسط بستر وینکلر-پاسترناک احاطه گردیده است با شرایط مرزی گیردار مطرح شده است. با فرض ویژگی‌های سختی ارتوتروپی موثر، مدل پیوسته با سازه مشبک جایگزین گردیده و

همانطور که در جدول (۳) ذکر شده است، افزایش  $K$ ، برای بستر الاستیک در حالی که  $G$  را ثابت نگه داشته شود، (و بالعکس) فرکانس‌های طبیعی افزایش می‌یابد. برای مدل‌سازی به روش اجزای محدود برای پوسته استوانه‌ای مشبک از ۹۷۸۳۰ گره و ۳۹۸۴ المان فتر استفاده شده است. سختی کل المان فترها از قوانین فترهای موازی پیروی می‌کند و بر تعداد فترهای تقسیم شده و در مدل‌سازی در نظر گرفته می‌شود.

ارتعاش اساسی و پایه برای پوسته مشبک استوانه‌ای که توسط بستر الاستیک با لبه‌های گیردار در نرم‌افزار اجزای محدود بدست آمده است. چهار شکل مود در شکل (۹) برای مقادیر  $G = 0 \text{ N/m}^3$  و  $k = 100$  نشان داده شده است. تغییرات ضریب وینکلر بستر الاستیک،  $K$ ، از  $0$  تا  $2 \times 10^6$  و تأثیر آن بر فرکانس اساسی در جدول (۴) نشان داده شده است.



شکل ۹ شکل مودهای اول، سوم، پنجم و هفتم استوانه مشبک

جدول ۴ تغییرات فرکانس‌های طبیعی با در نظر گرفتن ضریب تغییرات بستر الاستیک برای  $n_s=48$

(K, G)	فرکانس طبیعی به روش تحلیلی	فرکانس طبیعی به روش FEM	درصد خطا %
(0,0)	۱۰۰/۸۶	۱۰۳/۰۱	۲/۱۳
(۱۰۰,۰)	۱۰۰/۸۶	۱۰۳/۵۵	۲/۶۷
(۱۰۰۰,۰)	۱۰۰/۹۰	۱۰۳/۵۵	۲/۶۷
(۱۰ <sup>۴</sup> ,۰)	۱۰۰/۹۵	۱۰۳/۶۵	۲/۶۵
(۱۰ <sup>۵</sup> ,۰)	۱۰۱/۱۱	۱۰۳/۷۳	۲/۶
(۱۰ <sup>۶</sup> ,۰)	۱۰۱/۳۱	۱۰۵/۳۷	۲/۱
( $2 \times 10^6$ , ۰)	۱۲۳/۱۷	۱۲۰/۴۹	۲/۱۷
( $3 \times 10^6$ , ۰)	۱۴۲/۰۱	۱۳۵/۳۳	۴/۷۰

پژوهشی علوم کاربردی و محاسباتی در مکانیک فردوسی مشهد  
کمال سپاس و تشکر را دارد.

### واژه نامه

Lattice structure	سازه مشبک
Fourier method	روش فوریه
Galerkin method	روش گالرکین
Elastic foundation	پایه الاستیک
Helical rib	دنده حلقوی
Circumferential rib	دنده محیطی
Elastic ambient	محیط الاستیک
Winkler Pasternak foundation	بستر وینکلر پاسترناک
Finite Element Method	روش اجزای محدود

### فهرست علائم

$\rho$	چگالی
$E$	ضریب الاستیک
$R$	شعاع سطح مقطع مشبک (میلی متر)
$L$	طول موثر استوانه مشبک (میلی متر)
$\delta_s$	ضخامت دنده‌های مایل (میلی متر)
$\delta_r$	ضخامت دنده‌های محیطی (میلی متر)
$\rho_s$	چگالی دنده‌های مایل (کیلوگرم بر متر مکعب)
$\rho_r$	چگالی دنده‌های محیطی (کیلوگرم بر متر مکعب)
$H$	ارتفاع دنده‌ها (میلی متر)
$L/R$	نسبت طول به شعاع
$R/H$	نسبت شعاع به ارتفاع دنده‌ها
$\nu$	ضریب پواسون
$\varphi$	زاویه بین دنده‌های مایل
$n_s$	تعداد دنده‌های مایل
$\omega_n$	فرکانس طبیعی (رادیان بر ثانیه)
$\beta_p$	جرم واحد سطح (کیلوگرم بر متر مربع)

فرمول تحلیلی با استفاده از روش فوریه و روش گالرکین بدست آمده است. فرمول پیوسته برای فرکانس‌های طبیعی پوسته مشبک محصور در یک محیط الاستیک حل گردیده و نتایج با استفاده از روش اجزای محدود بررسی و مورد تأیید قرار گرفته است. برای شبیه سازی‌های روش اجزای محدود، ضرایب ویژگی‌های وینکلر و پاسترناک به ترتیب با فنرهای برشی و شعاعی جایگزین شده-اند. فرکانس طبیعی پایه سیستم به ویژگی‌های بستر الاستیک بستگی داشته، بنابراین تغییر سختی فنرهای شعاعی و برشی باعث ایجاد تغییر در فرکانس‌های طبیعی می‌شود. مشاهده گردیده است که با افزایش سختی فنرها، می‌توان انتظار پایداری بیشتری در سیستم داشت. استفاده از هر دو روش تحلیلی و عددی، نشان می‌دهد که مقادیر بالاتر برای پارامترهای ساختاری سیستم برای سیستم با طول کوتاه‌تر مورد نیاز است. کارایی فرمول تحلیلی با استفاده از محاسبات عددی (اجزای محدود) مورد بررسی و تأیید قرار گرفته است. فرمول پارامتری بدست آمده می‌تواند کارآمدی و مناسب بودن آنرا جهت بدست آوردن ارتعاشات آزاد سازه مشبک استوانه‌ای که توسط بستر وینکلر-پاسترناک که با فنرهای شعاعی و برشی معادل سازی گردیده‌اند را جهت تجزیه و تحلیل و همچنین طراحی امکان پذیر کند. طراح می‌تواند اثرات تغییر مواد، دانسیته، طول سازه، قطر سازه، زاویه بافت الیاف و همچنین تعداد دنده‌های مایل و عمودی را در بستر مورد نیاز در مأموریت‌های مختلف و کنترل فرکانس بدون صرف هزینه و وقت محسوسی محاسبه نماید. این عبارت یک بسته کامل جهت آغاز طراحی است بگونه‌ای محصول و بستر را به صورت یکپارچه و یکجا تحلیل می‌نماید. با افزایش سختی فنرهای برشی و شعاعی پایدار مطلوب را برای سازه‌های حساس هوافضایی ممکن می‌شود. افزایش طول در سازه سبب کاهش فرکانس طبیعی است. لذا با طراحی بستر مناسب پایداری کافی برای آن حاصل می‌گردد.

### تقدیر و تشکر

نویسندگان این مقاله از استاد محترم جناب آقای دکتر جعفر اسکندری جم به جهت راهنمایی علمی و از فصلنامه علمی و

### مراجع

1. Wang, T.M. and Stephens, J.E., "Natural Frequencies of Timoshenko Beams on Pasternak Foundations", *Journal of Sound and Vibration*, Vol. 51, No. 2, Pp. 149-155, (1977).

2. Khalifa Ahmed M., "Natural Frequencies and Mode Shapes of Variable Thickness Elastic Cylindrical Shells Resting on a Pasternak Foundation", *Journal of Vibration and Control*, Vol. 17, No. 8, Pp. 1158–1172, (2016).
3. Paliwal, D.N. and Pandey, R., "Free Vibrations of An Orthotropic Thin Cylindrical Shell on a Pasternak Foundation", *AIAA Journal*, Vol. 39, No. 11, (2001).
4. Lopatin, A.V., Morozov, E.V. and Shaatov, A.V., "An Analytical Expression for Fundamental Frequency of The Composite Lattice Cylindrical Shell with Clamped Edges", *Journal of Composite Structures*, Vol. 141, No. 1, Pp. 232–239, (2016).
5. Lopatin, A.V., Morozov, E.V. and Shaatov, A.V., "Fundamental Frequency of a Cantilever Composite Filament-Wound Anisogrid Lattice Cylindrical Shell", *Journal of Composite Structures*, Vol. 133, Pp. 564–575, (2015).
6. Vasiliev, V.V and Brayan, V.A., "Anisogrid Composite Lattice Structures-Development and Aerospace Applications", *Journal of Composite Structures*, Vol. 94, No. 3, Pp.1117-1127, (2012).
7. Vasiliev, V.V., Brayan, V.A. and Rasin, A.F., "Anisogrid Lattice Structures-Survey of Development and Application", *Journal of Composite Structures*, Vol. 54, No. 2–3, Pp. 361-370, (2001).
8. Hou, A. and Gramoll, K., "Compressive Strength of Composite Lattice Structures", *Journal of Reinforced Plastics and Composites*, Vol. 17, No. 5, (1998).
9. Totaro, G., "Local Buckling Modelling of Isogrid and Anisogrid Lattice Cylindrical Shells with Hexagonal Cells", *Journal of Composite Structures*, Vol. 95, Pp. 403–410, (2013).
10. Xu, M. and Qiu, Z., "Free Vibration Analysis and Optimization of Composite Lattice Truss Cores and Sandwich Beams with Interval Parameters", *Journal of Composite Structures*, Vol. 106, No.1, Pp. 85–95, (2013).
11. Frulloni, E., Conti, K. and Torre, L., "Experimental Study and Finite Element Analysis of The Elastic Instability of Composite Lattice Structures for Aeronautic Applications", *Journal of Composite Structures*, Vol. 78, Pp. 519–528, (2007).
12. Iwata Y., Yokozeki T., "Shock wave filtering of two-dimensional CFRP X-lattice structures: A numerical investigation", *Composite Structures*, Vol. 265, (2021).
13. Mikaeili, E, Heydarnabi, M., Eskandari Jam, J, "Analysis of free vibrations of smart FGM lattice plates in thermal environments", *Journal of Mechanical Eng. University of Tabriz*, Vol. 92, No. 50, Issue 3, Autumn, (1399). (In persian)
14. Li, M., Fan, H., "Free vibration behaviors and vibration correlation technique of hierarchical Isogrid stiffened composite cylindricals", *Thin-Walled Structures*, Vol. 159, (2020).
15. Banijamali, S. M. and Jafari, A., "Free vibration analysis of rotating functionally graded conical shells reinforced by lattice structure", *Mechanics Based Design of Structures and Machines*, (2021).

پیوست‌ها

$$a_s = \frac{2\pi R}{n_s} \cos \phi, \quad a_r = \frac{\pi R}{n_s \operatorname{tg} \phi}$$

$$f_{11} = \frac{\cos^3 \phi}{\pi}, \quad f_{12} = \frac{\cos \phi \sin^2 \phi}{\pi},$$

$$f_{22} = \frac{\sin \phi}{\pi \cos \phi} \left( \sin^3 \phi + \frac{E_r \sigma_r}{E_s \sigma_s} \right), \quad f_p = \frac{1}{\pi \cos \phi} \left( 1 + \frac{\rho_r \delta_r}{\rho_s \delta_s} \sin \phi \right)$$

$$B_{11} = A_{11} h, \quad B_{12} = A_{12} h,$$

$$B_{22} = A_{22} h, \quad B_{33} = A_{33} h, \quad B_p = A_p h,$$

$$A_{11} = 2E_s \frac{\delta_s}{a_s} \cos^4 \phi, \quad A_{12} = A_{33} = 2E_s \frac{\sigma_s}{a_s} \cos^2 \phi \sin^2 \phi, \quad (A1)$$

$$A_{22} = 2E_s \frac{\sigma_s}{a_s} \sin^4 \phi + E_r \frac{\sigma_r}{a_r}, \quad A_p = 2\rho_s \frac{\delta_s}{a_s} + \rho_r \frac{\delta_r}{a_r}$$

(A2)

$$\begin{aligned}
D_{11} &= A_{11} \frac{h^3}{12}, \quad D_{12} = A_{12} \frac{h^3}{12}, \quad D_{22} = A_{22} \frac{h^3}{12}, \quad D_{33} = A_{33} \frac{h^3}{12} \\
c_{11} &= a_1 a_{32} - a_{12}^2, \quad c_{12} = c_{21} = a_{11} a_{23} - a_{12} a_{13}, \quad c_{22} = a_{11} a_{33} - a_{13}^2, \quad g_{11} = e_{22} a_{11}, \quad g_{22} = a_{11} e_{33}, \quad P_{ss} = a_{11} P_s, \\
P_s &= \frac{t}{E_s \sigma_s n_s} \left[ G \frac{\xi}{S} + \left( K \frac{R^2}{L^2} + \frac{G n^2}{L^2} \right) s \right] \\
a_{11} &= f_{11} \frac{\lambda^4}{s} + f_{12} \xi s n^2, \quad a_{12} = a_{21} = 2 f_{12} \xi n \\
a_{31} &= a_{13} = f_{12} \xi, \quad a_{12} = (1+Z) \left( f_{12} \frac{\xi}{s} + f_{22} s n^2 \right) \\
a_{23} &= a_{32} = n \left[ f_{22} (1+zn^2) s + 3 f_{12} z \frac{\xi}{s} \right] \\
a_{33} &= \left[ f_{11} z \frac{\lambda^4}{s^4} + f_{22} (1+zn^4) \right] s + 6 f_{12} z n^2 \frac{\xi}{s} \\
a_{22} &= (1+Z) \left( f_{12} \frac{\xi}{s} + f_{22} s n^2 \right) \\
e_{11} &= f_\rho \xi, \quad e_{22} = e_{33} = f_\rho, \quad z = \frac{1}{12t^2}, \quad t = \frac{R}{h}
\end{aligned} \tag{A3}$$